

VI-13 各種路盤材料の等値換算係数について(オ2報)

福岡大学 正員 吉田信夫
K.K. 戸田組・正員 百田政治

1. まえがき

AASHTO道路試験は、舗装体の構造と材料の種別によって、どれだけの交通荷重に耐えうるかの予測を可能にしたことは画期的な成果であると認められており。

わが国では、昭和42年からアスファルト舗装要綱はAASHTO道路試験で得られた舗装厚指標と材料の等値換算係数を採りいつ改訂されている。しかしAASHTO道路試験で得られた結果をわが国の道路に適用することは多少の問題を含んでいる。すなわち舗装構成材料の相対強度係数としてAASHTOの道路試験により決定されている値は表層についてはプラント混合(安定度大), 上層路盤については碎石(室内CBR 0.25cm費入で平均値107名)だけである。さらにはAASHTO道路試験の資料から推定された値として推定されているのは上層路盤材料としての砂混り砂利, セメント安定処理46%以上, アスファルト安定処理層の粗粒度砂利使用, 下層路盤材料の砂混り砂利である。これらのAASHTO道路試験での限られた相対強度係数をもとにして工法, 材料などの相異があるわが国の道路に適用することは当然この2, 3年間に問題を発生させているのである。すなわちアスファルト舗装要綱に明確に示されていない粒調スラグやアスファルト乳剤による安定処理などであり, また粒調碎石の等値換算係数である。

このような検討をおこなうために, 昭和46年4月から, 岐道は久光→西小田線の福岡県朝倉郡夜須町下高場においてオ1図に示すような, 1区間10mの延長で上層路盤を9工法変化させた試験舗装を実施し, 舗設時の調査, オ1図に経年変化の追跡調査をおこなっている。ここでは舗設時および供用1年後の追跡調査の平板載荷試験にもとづいて算出した変形係数および等値換算係数についての比較をまとめたものである。

2. 試験舗装

試験舗装は, 現地路床の

CBR 3.1%の上に, 水洗

水たマサ土を遮断層材とし

, 下層路盤材にタッシャ

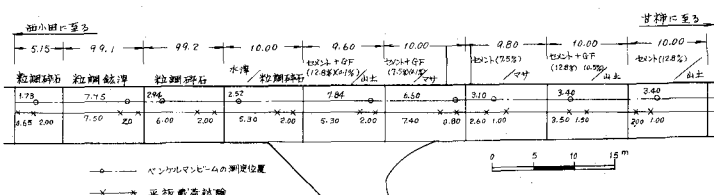
ーランを, 上層路盤材とし

ては粒調碎石(A)(B), 粒調スラグ, 木屑粒調碎石, セメント安定処理した山土, それにグラスファイバーの添加およびセメント安定処理したマサ土, それにグラスファイバーを添加した材料などである。なお表層は加熱アスファルト混合である。

調査のための試験は, 現場密度試験, 平板載荷試験, ベンケルマンビーム試験およびプロフィールメーター試験などを各舗装ごとく各層で実施した。

3. 試験結果

3-1 平板載荷試験.



オ1図 試験舗装の平面図

各材料、各層についての平板載荷試験の結果の鋪設時の支持力係数(K値)は、路床で $7.6 \sim 8.8 \text{ kg/cm}^2$ 、遮断層 $9.6 \sim 11.0$ 、下層路盤 $18.4 \sim 22.4$ 、上層路盤の粒調碎石(A)34.0、粒調スラグ22.4、粒調碎石(B)30.4、水溝/粒調碎石29.0、山土のソイルセメント。そのセメント量(12.8%)で34.8、それをガラスファイバー-0.1%添加で57.1、同0.5%添加で24.0である。またマサ土のソイルセメント、そのセメント量(7.5%)で63.8、それをガラスファイバー-0.1%添加したもので57.1である。また供用1年後の追跡調査では、下層路盤で $16.4 \sim 18.0 \text{ kg/cm}^2$ 、上層路盤の粒調碎石(A)28.8、粒調スラグ28.16、粒調碎石(B)25.35、粒調碎石に水溝を増加したもので25.44、山土のソイルセメントで24.0、それをガラスファイバー-0.1%添加で42.6、同0.5%27.2、マサ土のソイルセメント54.6、それをガラスファイバー-0.1%で58.8である。

3-2、ベンケルマンビーム試験。

追跡調査の供用1年後における各舗装面ごとに実施したベンケルマンビーム試験のたわみ量測定の結果の比較は図-2に示す通りである。

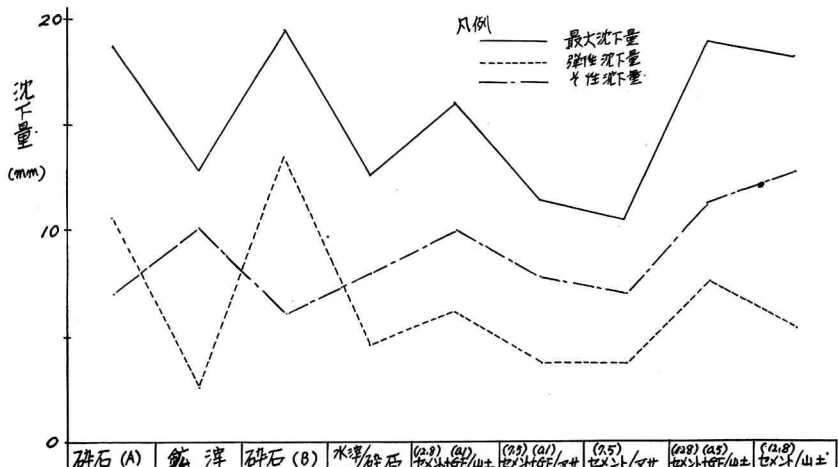


図-2 ベンケルマンビーム試験による各種材料のたわみ量の比較。

3-3 プロフィールメータ試験。

プロフィールメータ試験の解析は、アスファルト舗装要綱では標準偏差で議論されているが、筆者らは自己相関函数とスペクトル密度で現在検討中で、この実際については次回の報告としたい。

4、変形係数

各種材料の各層断面の変形係数を地盤の変位係数を荷重分散角と関連づけた。ナシメントの計算方法を利用した植下の方法でもとめた。



平板載荷試験の測定

舗設時の変形係数の結果については、路床, 15~166%cm², 道断層, 225~486, 下局路盤, 1.418, 上局路盤の粒調砕石(A) 4.110, 粒調鉱滓, 1.670, 粒調碎石(B) 4.580 水溝/粒調碎石 4.540 およびセメント安定処理の山土の値, 13,000, それに G.Fiber 0.1% 添加, 19,200, 同 0.5% 添加で 3900 である。またマサ土の値, のソイルセメント 29,700, それにグラスファイバー 0.1% 添加 25,600 である。

この舗設時の上局路盤および下局路盤の変形係数はこれまで報告されてい3値とほぼ同じであるが G.Fiber 0.5% 添加ではかなり小さい、これは G.Fiber の量が過大であつたためだと想われる。また、水溝/粒調碎石であるが、これは潜在水硬性である高炉滓中、特に水溝は微粒子であればある程に固結反応の効果が高いことは周知であるが、粒調碎石とほぼ同じ変形係数が得られているのは、固結反応の効果がなかつたのか、その配合割合が全体の 8% であり、細粒分の影響がなかつたと考えられる。

また供用 1 年後については、路床、道断層および下局路盤については舗設時とほぼ同じであるが、上局路盤については、碎石(A) 5.045, 鉱滓 4.029, 碎石(B) 8.033, 水溝/粒調碎石 6.187 である。セメント安定処理の変形係数については山土のソイルセメント 3,150, それに G.Fiber 0.1% 添加で 25,800, 同 0.5% 添加 5,592, マサ土については 29,700, それに G.Fiber 0.1% 添加 67,200 である。

供用 1 年後の経年変化についての上局路盤の粒調材料については、いす水も舗設時の変形係数のそれよりも高い値がでている。これは繰返しの交通荷重で路盤が安定したものと想われるが、それよりもむしろアスファルト表層の効果が上局路盤の K 値の中に含まれたためであろう。水溝/粒調碎石については、固結性を有する水溝の水硬性が多少みられたものと想えてよいと思う。しかし、その硬化の速さはセメントのそれよりも極めて緩慢であるためにこの程度の変形係数が得られたものであると思われる。またセメント安定処理のうち G.Fiber を添加しないソイルセメントについては、いす水も小さい値になつていて、これは確証できなかつたが、クラックが生じた影響であろう。これに対して、G.Fiber 0.1% の山土、マサ土については舗設時、供用 1 年後も同程度の値である。一方 G.Fiber 0.5% 添加については、舗設時の転圧が Fiber 量過大のため転圧が充分できず、その乾燥度も低く、Fiber の応力伝播の機能が充分發揮されていないためと想われる。

5. 等値換算係数

竹下の式をもちいて、各材料の等値換算係数の舗設時および供用 1 年後の結果を表 1 表に示す。

粒調碎石の値はアスファルト舗装要綱に記載されている値よりも 1.8 倍、供用 1 年後の値で約 2 倍のかなり大きい値を示している。したがって、粒調碎石でも材料が良好で、粒度配合、繊維めにあつては、かなりの等値換算係数が得られることが確認された。ソイルセメントでは、母材のマサ土と山土とでは、マサ土を母材とした路盤の方が等値換算係数が大きいのは、物理的性質、力学的性質からいっても当然のことであろう。

注：名四バイパス上局路盤、粒調碎石 0.392、粒調鉱滓 0.593

工法	アスファルト舗装要綱の C.I.C. に用いる等価換算係数 (S)		等 値 換 算 係 数 (S)			
	条件	S	層構造の解析 (竹下)	C.I.C. 試験 (K)	外因の資料より	
粒 調 碎 石 (A) 修正CBR 80%以上	0.35	0.45	0.55	0.60	0.45	0.5 0.4
粒 調 碎 石 (B) 示されてない	0.35	0.45	0.63	0.75	0.45	
上 水 溝 / 粒 調 碎 石 示されてない	—	—	0.58	0.60	0.56	
層 路盤 セメント + G.F. / 山土 (7.5) + G.F. / マサ土 (12.8)	— —	— —	1.13	1.27		
セメント (7.5) / マサ土 (12.8) + G.F. / 山土 (12.8)	— —	— —	2.09	1.98		
セメント (12.8) / 山土 30kg/cm ²	0.55	—	1.80	1.36		
セメント (12.8) / 山土 30kg/cm ²	0.55	—	0.51	0.63		
下 クラッシャーラン 切 込 碎 石 道断層 (水先マサ) 路盤 床	修正CBR 30%以上 修正CBR 20~30%	0.25 0.20	0.29 —	0.35 0.20	0.36 0.25	0.28
			—	0.11		

「グラスファイバーの効果については、土のマトリックスと考えた場合の複合材料としての繊維分散による応力伝播の実験から、土にグラスファイバーは交通荷重による応力を相互に分担するもので、これは室内実験によって確かめられてている。」

本試験の場合も G.Fiber を添加した区間の等値換算係数は添加しない区間よりも、大であることは認められる。しかし G.Fiber の添加量には、土の最適含水比と同じように締固めについて最適添加量がある。この場合の 0.5% の添加は G.Fiber の添加量が過大であり、充分な転圧が不可能であった。したがって、マトリックスとしての土からの応力伝播が充分でなかったものと推定される。

6.まとめ

アスファルト舗装要綱。植下、兼吉の報告。筆者らの実験結果。諸外国および名四バイパスでの上尾路盤に廻る経年調査報告（建設省、中部地方建設局 名古屋技術事務所）での粒状碎石の等値換算係数が大きくとらわれている例をまとめたのがオ1表である。

まず上尾路盤の粒状碎石については、アスファルト舗装要綱にくらべて、尾構造の解析（いずれも現地舗装による資料）、C.T.T 試験（室内実験）の結果は約 0.1 倍大きい値とみてよいであろう。

ソイルセメントについては、G.Fiber の添加の効果は等値換算係数にして 0.6 ～ 0.8 の効果としてあらわれている。G.Fiber を添加しないソイルセメントは、供用 1 年後において等値換算係数の低下があるが、同添加している材料については、セメントの硬化収縮と繰返し交通荷重による等値換算係数の低下を防止している。

下尾路盤としてのクラッシャーランについても、オ1表では現行のアスファルト舗装要綱よりも、0.05 ～ 0.1 程度大きい値が得られている。このように粒状材料については、材質が良好で、粒度配合、転圧が充分であれば少くとも 0.45 ～ 0.5 程度の等値換算係数が得られる。またソイルセメントのクラック防止にファイバーの効果が顕著であることがみられた。

本報告は供用 1 年後のデータによる結論であるので、今後さらに追跡調査をするつもりである。

最後に本試験にご協力いただいた 福岡県廿木土木事務所、現地試験を行った福岡大学の卒論生、中野孝一、東本康文、田中敏博君に謝意を表する。

参考文献

- 1) 吉田、百田：各種路盤の等値換算係数について、全国地下資源開発学合同秋季大会（昭47.10）
- 2) 植下、兼吉：平板載荷試験結果から舗装各層の変形係数を算出する方法、舗装 Jan. 1971.
- 3) Highway Research Board. THE AASHO ROAD TEST.
- 4) 植下、舗装厚指数 (NS) について 道路 昭40.11.
- 5) 吉田、一の瀬：土に混合した Glass Fiber の効果について 土木学会西部支部(昭47)
- 6) 吉田、Glass Fiber 添加土の基礎的実験について 土木学会第27回年次学術講演会(昭47)
- 7) 植下：スラグ碎石路盤と切込み碎石路盤供用 4 年後における比較調査 道路建設 Dec. 1970.
- 8) 右川、松下、百田：水準を添加した碎石の道路々盤成としての性質に関する試験（未発表）